

1

Angenommen,  $f$  und  $g$  sind zwei ausreichend glatte Skalarfelder im dreidimensionalen euklidischen Raum. Formen Sie die beiden Ausdrücke

$$\vec{\nabla} \times (f \vec{\nabla} g) \quad \text{und} \quad \vec{\nabla} \times (g \vec{\nabla} f)$$

um und zeigen Sie, dass sich das Flächenintegral

$$\int_{\mathcal{A}} [(\vec{\nabla} f) \times (\vec{\nabla} g)] \cdot \vec{n} \, dA$$

auf zwei äquivalente Arten als Kurvenintegral über den Rand  $\partial \mathcal{A}$  darstellen lässt.

---

**Lösung:**

- Anwendung der Tabelle 1.2 Zeile 6 im EDyn-Script
- Satz von Stokes für das Integral verwenden

In einem kosmologischen Modell (W.H. Watson) wird eine Erweiterung der Maxwell-Gleichungen gemäß

$$\vec{\nabla} \times \vec{H} - \partial_t \vec{D} = \vec{J} - \vec{\nabla} G, \quad \vec{\nabla} \cdot \vec{D} = \rho + \mu_0 \epsilon_0 \partial_t G$$

mit einer Funktion  $G$  vorgeschlagen. Die beiden anderen Maxwell-Gleichungen bleiben ungeändert. Welcher Gleichung muß  $G$  genügen, wenn der Satz von der Erhaltung der elektrischen Ladung (Kontinuitätsgleichung für  $\vec{J}$  und  $\rho$ ) in der üblichen Form gelten soll?

Lösung:

$$\vec{\nabla} \times \vec{H} - \partial_t \vec{D} = \vec{J} - \vec{\nabla} G \quad (1)$$

$$\vec{\nabla} \cdot \vec{D} = \rho + \epsilon_0 \mu_0 \partial_t G \quad (2)$$

$$\text{Aus (1) folgt } \vec{\nabla} \cdot (\vec{\nabla} \times \vec{H}) - \partial_t \vec{\nabla} \cdot \vec{D} = \vec{\nabla} \cdot \vec{J} - \vec{\nabla} \cdot \vec{\nabla} G \quad (3)$$

Einsetzen von (2) in (3) ergibt

$$-\partial_t (\rho + \epsilon_0 \mu_0 \partial_t G) = \vec{\nabla} \cdot \vec{J} - \nabla^2 G$$

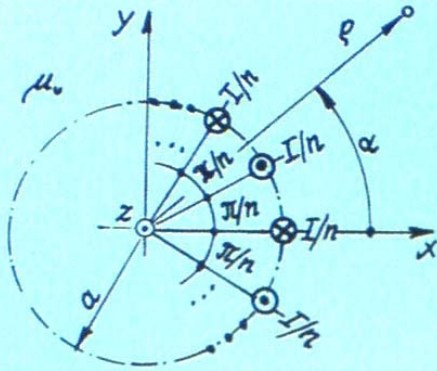
$$\vec{\nabla} \cdot \vec{J} = -\partial_t \rho + \nabla^2 G - \epsilon_0 \mu_0 \partial_t^2 G \quad (4)$$

Damit sich (4) zur Kontinuitätsgleichung vereinfacht muß die Funktion der homogenen Wellengleichung

$$\nabla^2 G - \epsilon_0 \mu_0 \partial_t^2 G = 0$$

genügen.





Um das von einer gemeinsamen Hin- und Rückleitung erzeugte magnetische Außenfeld möglichst klein zu halten, wird anstelle der gewöhnlichen Doppelleitung manchmal eine Aufspaltung der Leiter und, wie skizziert, eine Querschnittsanordnung in Form eines regelmäßigen  $2n$ -Ecks gewählt.

Als dominierender Beitrag zum magnetischen Vektorpotential für relativ große Abstände ( $\rho^2 \gg a^2$ ) ergibt sich dann

$$\vec{A} \approx -\frac{\mu_0 I}{\pi} \left(\frac{a}{\rho}\right)^n \cos(n\alpha) \vec{e}_z.$$

Der Fall  $n = 1$  entspricht der gewöhnlichen Doppelleitung.

- Berechnen Sie die zugehörigen magnetischen Flußdichten und deren Beträge in ebenen Polarkoordinaten.
- Vergleichen Sie die Flußdichtebeträge im Abstand  $\rho = 10a$  für  $n=1$  (Doppelleitung) und  $n=3$  (Sechseck).

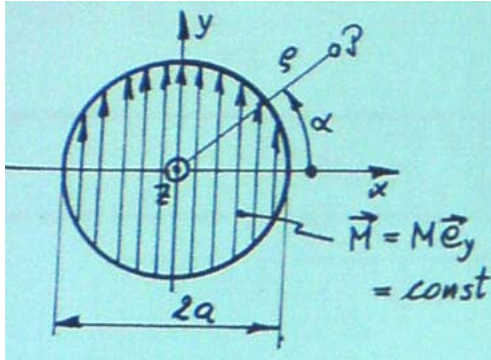
**Lösung:**

$$\vec{B} = \vec{\nabla} \times \vec{A} = \dots = \frac{\mu_0 I n}{\pi a} \left(\frac{a}{\rho}\right)^{n+1} \left\{ \vec{e}_\rho \sin(n\alpha) + \vec{e}_\alpha \cos(n\alpha) \right\}$$

$$\text{Betrag: } |\vec{B}| = \frac{\mu_0 I n}{\pi a} \left(\frac{a}{\rho}\right)^{n+1}$$

$$\text{Vergleich: } \frac{|\vec{B}|_{n=3}}{|\vec{B}|_{n=1}} \bigg|_{\rho=10a} = \frac{\frac{\mu_0 I 3}{\pi a} \left(\frac{1}{10}\right)^4}{\frac{\mu_0 I}{\pi a} \left(\frac{1}{10}\right)^2} = \underline{\underline{0,03}}$$

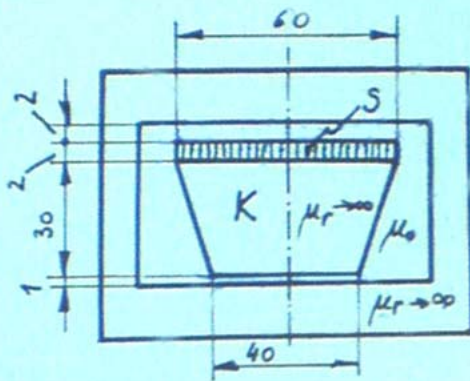
4



Ein beidseitig unendlich langer  
Kreiszyylinder ist transversal  
homogen magnetisiert. Berechnen  
Sie die ihm zugeordnete, fiktive  
Stromverteilung.

**Lösung:**

- $\vec{J}^f = \vec{\nabla} \times \vec{M} = \vec{0}$
- $\vec{K}^f = \vec{n} \times (\text{Sprung von } \vec{M}) = -M \cos(\alpha) \vec{e}_z$



Der Körper K besteht aus einem konischen Drehteil und einer transversal starr magnetisierten Dauermagnetscheibe S mit  $\mu_0 M = 0,9 \text{ T}$ . Der magnetische Rückschluß ist ideal permeabel. Berechnen Sie die resultierende Kraft an K nach Betrag und Richtung. Vernachlässigen Sie Streuungen.

Maße in mm

$$\vec{F}_R^e = \int_{\partial V_1} \frac{1}{\mu_0} (\vec{n} \cdot \vec{B}) \vec{B} - \frac{1}{2} B^2 \vec{n}) dA$$

### Lösung:

#### A2.3.16 Kraft an einem Drehteil:

Mit den Bezeichnungen aus Abb. A 2.3.16 b. lassen sich aus dem Durchflutungssatz,

$$\frac{1}{\mu_0} B_1 l_1 + H_M l_M + \frac{1}{\mu_0} B_2 l_2 = 0,$$

zusammen mit dem Satz vom magnetischen Hül-  
lenfluß und der Materialgleichung für den Dauer-  
magneten,

$$B_1 A_1 = B_2 A_2, \quad B_1 = \mu_0 H_M + \mu_0 M,$$

die magnetischen Flußdichten in den Spalten berechnen:

$$B_1 = \frac{\mu_0 M}{1 + \frac{l_1}{l_M} + \frac{l_2}{l_M} \frac{A_1}{A_2}} = 0,288 \text{ T}, \quad B_2 = \frac{A_1}{A_2} B_1 = 0,648 \text{ T}.$$

Die gesuchte resultierende Kraft ergibt sich damit zu

$$\begin{aligned} \vec{F} &= \frac{B_1^2}{2\mu_0} A_1 \vec{e}_z - \frac{B_2^2}{2\mu_0} A_2 \vec{e}_z = \frac{\pi}{8\mu_0} [(B_1 d_1)^2 - (B_2 d_2)^2] \vec{e}_z \\ &= -116,6 \text{ N } \vec{e}_z. \blacksquare \end{aligned}$$

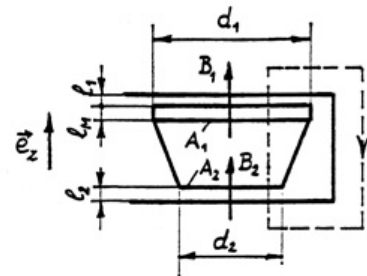
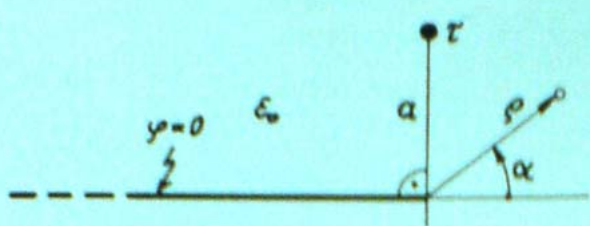


Abb. A 2.3.16 b



Parallel zur geraden Kante einer dünnen Metallplatte verläuft eine Linienladung. Die Feldberechnung liefert für das elektrostatische Potential den Ausdruck

$$\varphi(\rho, \alpha) = \frac{\tau}{4\pi\epsilon_0} \ln \left\{ \frac{1 + (\rho/a)^{2\nu} + 2(\rho/a)^\nu \cos(\alpha/2 + \pi/4)}{1 + (\rho/a)^{2\nu} - 2(\rho/a)^\nu \cos(\alpha/2 - \pi/4)} \right\}, \quad \nu = \begin{cases} +1/2 & \text{für } \rho < a, \\ -1/2 & \text{für } \rho > a. \end{cases}$$

Angenommen, anstelle der Linienladung verläuft ein dünner Metalldraht mit dem Durchmesser  $d \ll a$ . Berechnen Sie die längenbezogene Kapazität der Anordnung.

Hinweis:  $(1+\delta)^\nu \approx 1 + \nu\delta$  für  $|\delta| \ll 1$

### Lösung:

Keine Lösung gefunden, da sich beim Rechnen im Nenner des In-Arguments 0 ergibt.

7

Berechnen Sie für das ebene magnetische Feld mit der Flußdichte

$$\vec{B} = \frac{B_0}{a} [(2x-y)\vec{e}_x - (x+2y)\vec{e}_y]$$

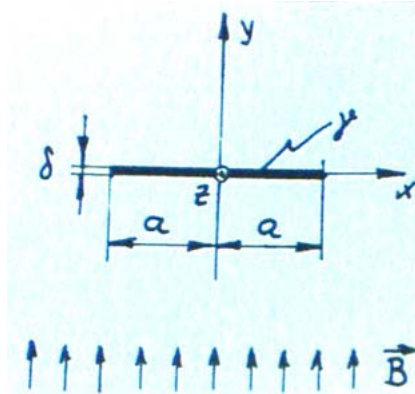
ein Maxwell-geeichtetes Vektorpotential.

**Lösung:**

(ähnlich zu A3.5.1)

$$\vec{A} = \frac{B_0}{a} \left[ 2xy - \frac{y^2}{2} + \frac{x^2}{2} \right] \vec{e}_z$$





Ein langer, nicht magnetisierbarer Metallstreifen der Breite  $2a$ , Dicke  $\delta \ll a$  und Leitfähigkeit  $\gamma$  liegt senkrecht in einem magnetischen Wechselfeld der Flußdichte

$$\vec{B} = B_0 \cos(\omega t) \vec{e}_y.$$

Berechnen Sie die Joule-Verluste im Streifen, bezogen auf die Länge in  $z$ -Richtung, ohne Berücksichtigung des von den induzierten Strömen selbst erzeugten Magnetfeldes, wobei für den Gesamtstrom im Streifen  $I=0$  gilt.

Lösung:

Induktionsgesetz in lokaler Form:  $\vec{\nabla} \times \vec{E} = -\partial_t \vec{B}$  (1)

Mit  $\vec{B} = B_0 \cos(\omega t) \vec{e}_y$  folgt  $\partial_t \vec{B} = -\omega B_0 \sin(\omega t) \vec{e}_y$  in (1)

$$\vec{\nabla} \times \vec{E} = \omega B_0 \sin(\omega t) \vec{e}_y \quad (2)$$

$$\left( \frac{\partial_z E_x - \partial_x E_z}{=0} \right) \vec{e}_y = \omega B_0 \sin(\omega t) \vec{e}_y \quad (3)$$

Die zugehörige Differentialgleichung lautet

$$-\partial_x E_z = \omega B_0 \sin(\omega t). \quad (4)$$

Integration von Gl. (4) ergibt

$$E_z = -\omega B_0 x \sin(\omega t) + K, \text{ aus der Bedingung } \int_{\text{ges}} I_{\text{ges}} = 0 \rightarrow K = 0.$$

Längenbezogene Joule-Verluste:

$$P' = \int_{-a}^a \int_0^\delta \gamma E_z^2 dA = \int_0^\delta \int_{-a}^a \gamma \omega^2 B_0^2 x^2 \sin^2(\omega t) dx dy$$

$$P' = \gamma \omega^2 B_0^2 \delta \frac{x^3}{3} \sin^2(\omega t) \Big|_{-a}^a = \gamma \omega^2 B_0^2 \delta \frac{2}{3} a^3$$

$$P' = \frac{2}{3} \gamma (\omega B_0)^2 \delta a^3 \sin^2(\omega t)$$

Zeitmittelwert der Joule-Verluste:

$$\overline{P'} = \frac{1}{3} \gamma (\omega B_0)^2 \delta a^3$$



In einem besonders einfachen Plasmamodell ergibt sich für elektromagnetische Sinusfelder

$$\vec{E}(\vec{r}, t) = \text{Re}\{ \vec{E}(\vec{r}) e^{j\omega t} \}, \text{ etc.},$$

die reduzierte Wellengleichung (Helmholtz-Gleichung)

$$\nabla^2 \vec{E} + \frac{1}{c_0^2} (\omega^2 - \omega_p^2) \vec{E} = \vec{0},$$

worin die Konstante  $\omega_p = \sqrt{n_e e^2 / (\epsilon_0 m_e)}$  mit der Elektronendichte  $n_e$ , der Elementarladung  $e$  und der Elektronmasse  $m_e$  eine charakteristische Kreisfrequenz bedeutet. Dieselbe Gleichung gilt für  $\vec{B}(\vec{r})$ .

- (i) Ermitteln Sie die zugehörige Dispersionsbeziehung  $F(\omega, \beta) = 0$  für homogene, ebene Sinuswellen.
- (ii) Zeichnen und diskutieren Sie das Dispersionsdiagramm (Graphische Darstellung der Dispersionsbeziehung).

### Lösung:

#### A5.2.15 Dispersion:

- (i) Mit  $\vec{E}(\vec{r}) = \vec{E}_0 e^{j\vec{k} \cdot \vec{r}}$  (homogene ebene Sinuswellen) folgt aus der angegebenen reduzierten Wellengleichung sofort die gesuchte Dispersionsbeziehung

$$\omega^2 - \omega_p^2 - c_0^2 k^2 = 0$$

entsprechend

$$\omega = \sqrt{\omega_p^2 + c_0^2 k^2} \quad \text{oder} \quad k = \frac{1}{c_0} \sqrt{\omega^2 - \omega_p^2}.$$

- (ii) Abb. A5.2.15 zeigt das zugehörige Dispersionsdiagramm. Für Kreisfrequenzen unterhalb  $\omega_p$  ist eine Wellenausbreitung dieses Typs nicht möglich (Evaneszenz). Für  $\omega > \omega_p$  gibt es ungedämpfte, aber dispergierende Wellen. Für  $\omega \gg \omega_p$  verhalten sich die Wellen wie im leeren Raum. ■

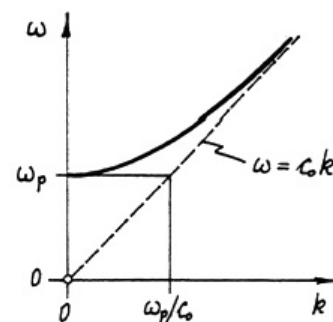


Abb. A 5.2.15

Ein erweitertes Leitungsmodell

$$\partial_z i = -C' \partial_t u, \quad \partial_z u = -L' \partial_t (i + C_p'' \partial_t \partial_z u)$$

erfaßt mit dem zusätzlichen Parameter  $C_p''$  (physikalische Dimension: Kapazität x Länge) auch longitudinale kapazitive Kopplungen. Gehen Sie von Sinuswellen

$$\begin{Bmatrix} u(z,t) \\ i(z,t) \end{Bmatrix} = \operatorname{Re} \left\{ \begin{Bmatrix} \hat{u} \\ \hat{i} \end{Bmatrix} e^{j(\omega t - \beta z)} \right\}$$

aus und bestimmen Sie die zugehörige Wellenimpedanz  $Z_w(\omega)$ .

**Lösung:**